

PHYSICAL CHEMISTRY

物理化學

(下冊)

FARRINGTON DANIELS
ROBERT A. ALBERTY 原著
吳華譯

新興圖書公司

54.2
292
2:2

物 理 化 學

PHYSICAL CHEMISTRY

下 冊

FARRINGTON DANIELS
ROBERT A. ALBERTY 原著

吳 華 譯

新亞圖書公司

物理化學 下冊

出版：新興圖書公司

發行：時代圖書有限公司
香港九龍彌敦道500號一樓
電話：3-308884

印刷：嶺南印刷公司

版權所有·不准翻印 1979年4月版

物理化學

下冊 目 錄

第十一章 溶液內不可逆過程 1 ~ 26

- | | |
|--------------------|-------------------|
| 11-1 粘滯性 | 11-2 導電性 |
| 11-3 莫耳導電係數 | 11-4 非水溶液之導電係數 |
| 11-5 電遷移率 | 11-6 氢與氫氧基離子之電遷移率 |
| 11-7 導電係數與電遷移率間關係 | |
| 11-8 水之離子積測定 | |
| 11-9 遷移率與離子磨擦係數間關係 | |
| 11-10 擴散 | |
| 11-11 擴散係數與摩擦係數間關係 | |

習 題

第三篇 量子化學

第十二章 量子論 28 ~ 82

- | | |
|------------|---------------|
| 12-1 物理常數 | 12-2 波動 |
| 12-3 中空體輻射 | 12-4 PLANCK學說 |

- | | |
|-----------------------|--------------------|
| 12-5 光電效應 | 12-6 線光譜 |
| 12-7 氢原子之 BOHR 學說 | 12-8 DE BROGLIE 關係 |
| 12-9 HEISENBERG 測不準原理 | |
| 12-10 SCHRODINGER 方程式 | |
| 12-11 算子 | |
| 12-12 1—因次箱中質點之量子力學處理 | |
| 12-13 平均值與對比原理 | 12-14 3—因次箱中質點 |
| 12-15 簡諧振動子 | 12-16 剛體振動子 |
| 12-17 氢原子 | 12-18 角動量 |
| 12-19 旋轉 | 12-20 氦原子 |
| 12-21 漸變法 | 12-22 PAULI 不相容原理 |
| 12-23 氦之第一被激態 | 12-24 原子之電子結構 |
| 12-25 週期表與 AUFBAU 原理 | |
| 12-26 游離電位與電子親和力 | |

習題

第十三章 對稱 83 ~ 105

- | | |
|--------------------------|-----------------|
| 13-1 對稱要素與對稱操作 | 13-2 對稱中心與反轉操作 |
| 13-3 對稱軸及轉動操作 | 13-4 對稱面與反映操作 |
| 13-5 非原軸與非原轉動操作 | 13-6 對稱操作之組合一點群 |
| 13-7 SCHOENFLIES 點群之分類 | |
| 13-8 SCHOENFLIES 點群符號之決定 | |
| 13-9 波函數之對稱性 | 13-10 對稱性與偶極子矩 |
| 13-11 對稱與轉偏性 | |

習題

第十四章 分子之電子結構 106 ~ 143

- | | |
|-------------------|-----------------------|
| 14-1 分子波函數 | 14-2 氢分子離子 |
| 14-3 氢分子 | 14-4 氢分子之位能曲線 |
| 14-5 同核二原子分子之電子組態 | |
| 14-6 陰電性 | 14-7 鍵徑 |
| 14-8 氢鍵 | 14-9 離子結合 |
| 14-10 偶極子矩 | 14-11 介質常數 |
| 14-12 極化 | 14-13 氣態分子之偶極子矩 |
| 14-14 莫耳折射 | 14-15 Van der walls 力 |

習題

第十五章 分子光譜學 144 ~ 192

- | | |
|------------------|-----------------------|
| 15-1 電磁光譜 | 15-2 基本方程式 |
| 15-3 二原子分子之轉動光譜 | 15-4 二原子分子之振動光譜 |
| 15-5 振動—轉動光譜 | 15-6 二原子分子之電子光譜 |
| 15-7 多原子分子之轉動光譜 | 15-8 微波光學譜 |
| 15-9 多原子分子之振動光譜 | 15-10 RAMAN 光譜 |
| 15-11 分光光度計 | 15-12 LAMBERT-BEER 定律 |
| 15-13 多原子分子之電子光譜 | 15-14 游離電子模型 |
| 15-15 分散與吸收 | 15-16 圓雙折射與圓二色性 |

習題

第十六章 磁共振光譜學 193 ~ 220

- | | |
|-------------------|---------------|
| 16-1 磁化係數 | 16-2 磁共振之原理 |
| 16-3 高分解力 NMR 分光計 | 16-4 热平衡與旋轉鬆弛 |

- | | |
|-----------------|----------------|
| 16-5 化學位移 | 16-6 旋轉 - 旋轉分裂 |
| 16-7 液體NMR光譜之解析 | 16-8 電子自轉共振 |
| 16-9 超微細耦合 | 16-10 ESR應用 |

習題

第十七章 統計力學 221 ~ 256

- | | |
|----------------------|------------------|
| 17-1 微觀狀態與不規則度 | 17-2 總體 |
| 17-3 Boltzmann 分佈之導出 | 17-4 內能，熵，與壓力 |
| 17-5 藉分配函數 Q 表示熱力學量 | |
| 17-6 分配函數之計算 | |
| 17-7 非限於局部系之正則總體分配函數 | |
| 17-8 理想氣體之熱力學特性值 | |
| 17-9 移動分配函數 | |
| 17-10 理想單原子氣體之熱力學特性值 | |
| 17-11 二原子分子之轉動分配函數 | |
| 17-12 振動分配函數 | |
| 17-13 電子分配函數 | |
| 17-14 热力學量之統計計算概要 | |
| 17-15 氣體之熱容量 | 17-16 平衡常數之理論上計算 |

習題

第十八章 光化學 257 ~ 277

- | | |
|--------------|-------------|
| 18-1 光化學定律 | 18-2 分子激發 |
| 18-3 蛍光與熒光 | 18-4 激發態之消光 |
| 18-5 量子產量 | 18-6 閃光光解 |
| 18-7 化合光與熱發光 | 18-8 照像術 |

18-9 光合成

18-10 Einstein 係數

18-11 雷射

習題

第四篇 結構**第十九章 晶體結構與固態..... 279 ~ 321**

19-1 格子

19-2 單位格子

19-3 晶體內轉動對稱性

19-4 結晶學點群

19-5 六種晶系

19-6 230 種空間群

19-7 晶面之表示法

19-8 繞射法

19-9 立方格子

19-10 立方晶之粉末花樣

19-11 單位格子因次

19-12 晶內離子半徑

19-13 球狀體之緊密充填

19-14 球狀體之體心立方結構

19-15 X - 射線研究之成效

19-16 中子繞射

19-17 液體之結構

19-18 液晶

19-19 晶內結合力

19-20 固體之電子結構

19-21 點瑕疵

19-22 線瑕疵與面瑕疵

19-23 素賦與非素賦半導體

19-24 聚合物之機械性質

習題

第二十章 大分子..... 322 ~ 355

20-1 蛋白質結構與機能

20-2 蛋白質之酸 - 鹼性質

20-3 電泳

20-4 多肽類與蛋白質中螺旋形結構

20-5 多肽類之螺旋線 - 紊亂線圈轉移

20-6 縮合聚合物之分子量分佈

20-7 聚合物鍊之組態

20-8 粘滯性

20-9 速度沈降

20-10 平衡超離心作用

20-11 擴散

20-12 渗透壓

20-13 光散射

20-14 乳膠體滲入層析

習題

附錄 356

第十一章 溶液內不可逆過程

IRREVERSIBLE PROCESSES IN SOLUTION

本章專論若干物理過程發生之速度，所考慮各例中有粘滯性，電導性，及擴散作用。測定粘滯係數，擴散係數，及沉積係數，用以計算大分子 (macromolecules) 之分子量，與分子形狀；此等應用詳第二十章。關於溶液內不可逆過程之理論，受缺乏足用液態理論之障礙，觀測電導度可獲得有關離子溶液之多項資料。

11.1 粘滯性 (VISCOSEITY)

9.12 節研討氣體動力論時，曾為粘滯係數下定義。此定義適用於線流（或層流）(laminar flow)，即流動時一薄層滑過另一薄層者。流速充分高時發生擾動。11.1 圖說明幾種測定液體粘滯係數之方法；內包括測定流過毛細管之速度，測定小球在液體中落下之速度，及測定以一定角速度轉動二同心圓筒之一所需力等。

粘滯性之 SI 單位為 pascal second (Pas)，係指在 1Pa 切應力 (shear stress) 下，於垂直於切力面方向，每 meter 有 1ms^{-1} 之速度梯度時流體之粘滯性。^{*}

^{*}(註):粘滯性之 cgs 單位為泊 (poise)，在 1dyne cm^{-2} 之切應力下，垂直於切力面方向每隔 1cm 有 1cm s^{-1} 之速度梯度時流體之粘滯性。1 poise 等於 0.1 Pas 。

至於估計是否爲擾流 (turbulent flow) (或曰亂流) 可藉計算一無因次量曰 Reynolds 數 (Reynolds number) 得知。管中流之 Reynolds 數之定義爲 $d\bar{v}\rho/\eta$, d 為管徑, \bar{v} 為平均流速, ρ 為流體密度, η 為粘滯係數。Reynolds 數大於 2000 者曰擾流。

若干懸膠體與粗大分子溶液之粘滯係數，視切變率 (rate of shear) 而定，此之謂非牛頓行爲 (non-Newtonian behavior)。若切應力使懸浮微粒配向，或畸變 (distorts)，則切變率增加時粘滯係數減少。

使小球在流體中降落之力，等於該小球之實效質量 (effective mass) 乘以重力加速度；實效質量爲該小球之質量減去同容流體之質量。另一方面，阻碍降落之力爲摩擦係數乘以速度。摩擦係數 f 為單位速度之摩擦力。Stokes 提示球形微粒在線流中落下時

$$f = 6\pi\eta r \quad (11.1)$$

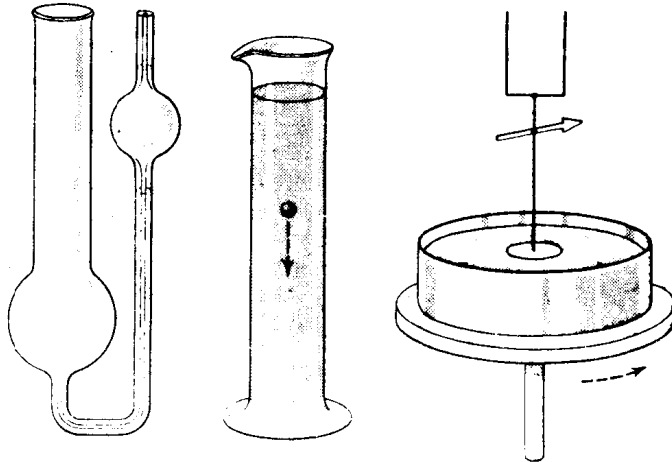
r 為小球半徑， η 為粘滯係數。設小球密度爲 ρ ，流體密度爲 ρ_0 ，使小球降落之力爲 $4/3\pi r^3(\rho - \rho_0)g$ ， g 為重力加速度。小球在液體內以恒定速度降落時，基於流體粘滯性之阻力 $f(dx/dt) = 6\pi\eta r(dx/dt)$ 必等於小球之重力，則

$$\frac{4}{3}\pi r^3(\rho - \rho_0)g = 6\pi\eta r\left(\frac{dx}{dt}\right) \quad (11.2)$$

$$\frac{dx}{dt} = \frac{2r^2(\rho - \rho_0)g}{9\eta} \quad (11.3)$$

因之測定小球落下之速度 dx/dt ，已知小球之半徑 r ，密度 ρ ，與液體之密度 ρ_0 ，可計算粘滯係數 η 。此法對於高粘滯性溶液，如高分子聚合物濃溶液，尤有價值。另一方面，於已知粘滯性之液體中，測定已知密度膠粒之降落速度，可判定膠粒之實效半徑。

測定液體流過一直立毛細管之速度，應用 Poiseuilli 式可判定粘滯係數



11.1圖 幾種粘滯計 (viscometers)。

$$\eta = \frac{P\pi r^4 t}{8Vl} \quad (11.4)$$

t 乃容積為 V 之液體，在所施壓力 P 下，流過 l 長度毛細管所需時間， r 為毛細管半徑。

用此法測定絕對粘滯性 (absolute viscosity) 困難，故通常概取間接測定法，取某液體為標準物質，藉上述絕對法測出其粘滯性，而測定各種液體對標準物質之相對粘滯性 (relative viscosity)。此種物理化學常數之判定，係藉相對測定而與標準物質類似測定相比較，為一般程序。標準物質之絕對測定需若干年之鑽研，相對測定則簡易，迅速，而精確度高。

如 11.1 圖所示之簡單之粘滯計，令液體流過毛細管之壓力，與二管液面高度差，液體密度 ρ_1 ，及重力加速度 g 成正比。因之取同容積之二液體，令其流過同一毛細管則易於導出

$$\frac{\eta_1}{\eta_2} = \frac{\rho_1 t_1}{\rho_2 t_2} \quad (11.5)$$

下標 1 與 2 代表二液體。已知某一液體之粘滯性時，可按此法算定另一液體之粘滯性。

大多數液體之粘滯性隨溫度之升高而降低。按“孔學說”(hole theory) 液體內有許多空隙，液體分子連續移入空隙，故空隙之位置亦到處移動。液體分子經空隙而流動時需活化能。較高溫時分子獲得較多可用於活化之能，自易於流動。11.1 表 列載幾種液體在若干溫度之粘滯性。粘滯係數隨溫度變化情形，可藉下式正確描述

$$\frac{1}{\eta} = Ae^{-E_a/RT} \quad (11.6)$$

E_a 為流動性 (fluidity) $1/\eta$ 之活化能。

壓力增高時孔減少，則液體之粘滯性增加，分子到處流動益增困難。與液體情形相反，溫度上升時氣體之粘滯性增加。理想氣體之粘滯性與壓力無關。

11.1 表 液體之粘滯性；單位： P_{as} ($\text{kg m}^{-1} \text{s}^{-1}$)

Liquid	0°	25°	50°	75°
Water	0.001793	0.000895	0.000549	0.000380
Ethanol	0.00179	0.00109	0.000698	—
Benzene	0.00090	0.00061	0.00044	—

11.2 導電性 (ELECTRIC CONDUCTIVITY)

導電性可分成下列四類：

1. 金屬導電性 (metallic conductivity)，由於電子之移動而起。金屬導體於高溫時導電量反減少，係基於高溫時格子內原子之熱運動更趨激烈，致電子通過晶體格子益困難。
2. 液體之電解導電 (electrolytic conductivity of liquids)，由於

離子之移動而起。高溫時溶液之粘滯性降低，且離子之媒介 (solvation) 作用減少，故電解導體高溫導電量增多。

3. 固體之半導體 (semiconductivity of solids)，固體中電子於室溫藉相當於 kT 之能，由滿額能帶 (energy band) 移佔空帶，在電場感應下可導電。半導體之導電量隨絕對溫度作指數上升。
4. 氣體導電性 (electric conductivity in gases)，藉氣體離子 (gas ion) 與電子導電。

電阻 R 之 SI 單位為 ohm，以 Ω 表示之。ohm 之定義為 $V A^{-1}$ ，V 為 volt，A 為 ampere。（A 與其他基本單位之定義詳附錄）。

粗細均勻導體之電阻 R ，與其長度 l 成正比，而與其截面積 A 成反比。

$$R = \frac{rl}{A} = \frac{l}{\kappa A} \quad (11.7)$$

比例常數 r 為電阻係數 (resistivity)，比例常數 κ 為導電係數 (conductivity)。觀 11.7 式知，導電係數之 SI 系單位為 $\Omega^{-1} m^{-1}$ 。

11.2 表列出各種物質之導電係數。絕對零度左近金屬之電阻極低。超導體 (superconductors) 在臨界溫度時電阻變成零。

測定電阻時用 Wheatstone 電橋 (Wheatstone bridge)，藉已知電阻與未知電阻平衡。測定電解質溶液之電阻，須用交流電，極面鍍以鉑墨，電流通向一方時電解質分解，倒轉電流之方向時，兩極反應亦反轉。極面上被覆一層鉑墨，吸附氣體並催化其反應。如此可防止生成不導電之氣膜 (gas film)

電解質之導電係數 κ 與所測定電解槽之電阻成反比。

$$\kappa = \frac{K_{cell}}{R} \quad (11.8)$$

K_{cell} 為容器常數 (cell constant)，可測定已知導電係數溶液之電

阻而算出之。若干標準溶液之導電係數已經審慎測定。

【例 11.1】 25° 充 0.02 M 氯化鉀溶液（導電係數為 $0.2768 \Omega^{-1} m^{-1}$ ）於某電導容器中，以 Wheatstone 電橋測出其電阻為 82.40Ω ；另充以 0.0025 M 硫酸鉀時，電阻為 326.0Ω 。

(a) 計算容器常數

$$K_{cell} = (0.2768 \Omega^{-1} m^{-1})(82.40 \Omega) = 22.81 m^{-1}$$

(b) 計算 $K_2 SO_4$ 溶液之導電係數

$$\kappa = \frac{K_{cell}}{R} = \frac{22.81 m^{-1}}{326.0 \Omega} = 6.997 \times 10^{-2} \Omega^{-1} m^{-1}$$

11.3 莫耳導電係數 (MOLAR CONDUCTIVITY)

莫耳導電係數 Λ 之定義為

$$\Lambda = \frac{\kappa}{c} \quad (11.9)$$

c 為單位容積中之莫耳數濃度，故莫耳導電係數為導電係數與含 1 莫耳電解質之容積之乘積。SI 系之濃度單位為每 m^3 中莫耳數，故莫耳導電係數 Λ 之單位為 $\Omega m^2 mol^{-1}$ 。

【例 11.2】 根據例 11.1 數據，計算 0.0025 M $K_2 SO_4$ 水溶液之莫耳導電係數

$$\Lambda = \frac{\kappa}{c} = \frac{6.997 \times 10^{-2} \Omega^{-1} m^{-1}}{2.5 mol m^{-3}} = 2.799 \times 10^{-2} \Omega^{-1} m^2 mol^{-1}$$

11.2表 代表性導體之導電係數

導體	溫度, °C	導電係數 $\Omega^{-1} m^{-1}$
Silver	0	6.812×10^7
Copper	0	6.406×10^7
Aluminum	0	3.900×10^7
Iron	0	1.102×10^7
Lead	0	4.882×10^6
Mercury	0	1.043×10^6
Fused sodium nitrate	500	1.760×10^2
Fused zinc chloride	500	8.38
1 M potassium chloride	25	11.93
0.001 M potassium chloride	25	1.468×10^{-2}
1 M acetic acid	18	1.320×10^{-1}
0.001 M acetic acid	18	4.09×10^{-3}
Diamond	25	10^{-5}
Water	18	4.0×10^{-6}
SiO_2	25	10^{-15}
Xylene	25	1.429×10^{-17}

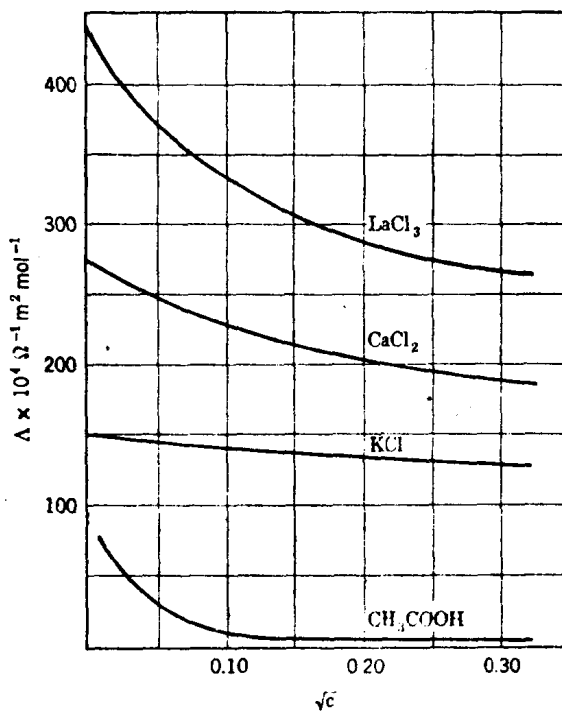
11.3 表列出 25° 氯化鉀水溶液之導電係數與莫耳導電係數。觀表知，增大溶液容積十倍時，濃度降低至原值之十分之一，導電係數亦大約降低至原值之十分之一。反之，莫耳導電係數則稍增加而隨溶液之稀釋漸近一極限值。

11.2 圖係以 25° 氯化鉀與其他電解質之莫耳導電係數，對濃度之平方根作圖所得曲線。外推至無限稀釋度，得莫耳導電係數之極限值 Λ° 。此值相當於離子相互間充分遠離，移向電極時不相作用與妨礙時之莫耳導電係數。精密測定稀薄溶液之導電係數時，須由溶液之導電係數減去純溶劑之導電係數，而得電解質之導電係數。即

$$\kappa_{\text{solute}} = \kappa_{\text{solution}} - \kappa_{\text{solvent}} \quad (11.10)$$

11.3表 25°氯化鉀水溶液之莫耳導電係數

Moles per liter	Moles per m^3 , c	Conductivity $\kappa, \Omega^{-1} m^{-1}$	Molar Conductivity $\Lambda, \Omega^{-1} m^2 mol^{-1}$
1	10^3	11.19	0.01119
0.1	10^2	1.289	0.01289
0.01	10	0.1413	0.01413
0.001	1	0.01469	0.01469
0.0001	10^{-1}	0.001489	0.01489



11.2圖 幾種典型電解質之莫耳導電係數對濃度之平方根圖。